



IRANIAN SOCIETY of
CRYSTALLOGRAPHY
and MINERALOGY

Vol. 13, No. 1, 1384/2005 Spring & Summer

IRANIAN JOURNAL OF
CRYSTALLOGRAPHY
and MINERALOGY

Optical characters, chemical composition and formation mechanism of colorless sodic and sodic-calcic amphiboles in piemontite-quartz schists from high P-low T Sanbagawa metamorphic belt in central Shikoku, Japan

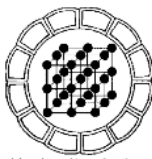
J. Izadyar

Department of Geology, Faculty of Science, Zanjan University, Zanjan
Email: Izadyar@mail.znu.ac.ir

(Received: 16/7/2004, received in revised form: 11/3/2005)

Abstract: Colorless sodic and sodic-calcic amphiboles occur in piemontite-quartz schists in the Asemi-gawa (garnet zone) and Besshi (albite-biotite zone) areas of high P-low T Sanbagawa metamorphic belt in central Shikoku, Japan. Colorless sodic amphiboles in the Asemi-gawa area are glaucophane while colorless sodic-calcic amphiboles from the Besshi area are barroisite and magnesiokatophorite. Colorless sodic and sodic-calcic amphiboles are richer in Mg and poorer in Fe in comparison with the colored sodic and sodic-calcic amphiboles from the epidote-quartz schists of the same metamorphic grade. Optical characters of the glaucophanes from the Asemi-gawa area are identified by their colorless and lack of pleochroism in the α , β and γ directions; $n_y \perp Z = 13$, $2V_{(\alpha)} = 20$ and $\beta = Y$. Optical characters of magnesiokatophorite from the Besshi area are: :colorless and without pleochroism in the α , β and γ directions; $n_y \perp Z = 17$, $2V_{(\alpha)} = 25$ and $\beta = Y$. Chemical composition of the coexisting minerals with colorless sodic and sodic-calcic amphiboles have shown a very high oxygen fugacity condition in which iron exists only as Fe^{3+} and occurs mostly in hematite. Therefore, such condition was responsible for formation of sodic and sodic-calcic amphiboles which are very rich in Mg.

Keywords: Piemontite-quartz schist, Sanbagawa metamorphic belt, sodic and sodic-calcic amphiboles.



خصوصیات نوری، ترکیب شیمیایی و نحوه تشکیل آمفیبولهای سدیک و سدیک - کلسیک بی رنگ در پیه مونتیت - کوارتز شیستهای بخش مرکزی شیکوکو از نوار دگرگونی فشار بالا - دمای پائین سانباغاوا واقع در جنوب غربی ژاپن

جواد ایزدیار

گروه زمین‌شناسی، دانشکده علوم، دانشگاه زنجان، زنجان

پست الکترونیکی: Izadyar@mail.znu.ac.ir

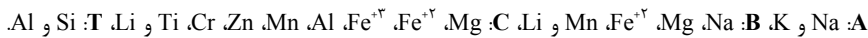
(دریافت مقاله ۸۳/۴/۲۵ ، دریافت نسخه نهایی ۸۳/۱۲/۲۰)

چکیده: آمفیبولهای سدیک و سدیک - کلسیک بی رنگ در پیه مونتیت - کوارتز شیستهای منطقه آسمی گاوا (زون گارنت) و منطقه بس شی (زون آلبیت - بیوتیت) در بخش مرکزی از نوار دگرگونی فشار بالا - دمای پائین سانباغاوا واقع در جنوب غربی ژاپن یافته شدند. آمفیبولهای سدیک بی رنگ در منطقه آسمی گاوا از نوع گلوکوفان، و آمفیبولهای سدیک - کلسیک بی رنگ در منطقه بس شی از نوع بارویسیت و مگنزیوکاتوفورویت هستند. آمفیبولهای سدیک و سدیک - کلسیک بی رنگ نسبت به آمفیبولهای سدیک و سدیک - کلسیک رنگی موجود در اپیدوت - کوارتزشیستها در درجه دگرگونی یکسان از منیزیم غنی تر ولی از آهن فقیرترند. مشخصات نوری گلوکوفان‌های بی رنگ منطقه آسمی گاوا عبارتند از: بی رنگ و فاقد چند رنگی در جهات α ، β و γ ؛ $Z = 2V_{(\alpha)} = 20^\circ$ ؛ $n\gamma = 13^\circ$ ؛ $Y = 2V_{(\alpha)} = 25^\circ$. مشخصات نوری مگنزیوکاتوفوریت‌های بی رنگ منطقه بس شی عبارتند از: بی رنگ و فاقد چندرنگی در جهات α ، β و γ ؛ $Z = 17^\circ$ ؛ $n\gamma = 2V_{(\alpha)} = 28^\circ$. مطالعه ترکیب شیمیایی کانی‌های همزیست با آمفیبول سدیک و سدیک - کلسیک بی رنگ در پیه مونتیت - کوارتزشیست‌ها نشان می‌دهد که این شیست‌ها در شرایط فوگاسیته اکسیژن بسیار بالا تشکیل شده‌اند که باعث شده است تا تمام آهن با ظرفیت ۳ و عمدتاً در ساختار هماتیت ظاهر شود. این ویژگی موجب تشکیل آمفیبولهای سدیک و سدیک - کلسیک غنی از منیزیم بی رنگ شده است.

واژه‌های کلیدی: پیه مونتیت-کوارتزشیست، آمفیبولهای سدیک و سدیک - کلسیک، نوار دگرگونی سانباغاوا.

مقدمه

پیه مونتیت - کوارتزیست‌ها سنگ‌های دگرگونی غنی از منگنز هستند که در شرایط اکسیدان بالا تشکیل شده‌اند و در بسیاری از نوارهای دگرگونی فشار بالا نظری اروپا [۱]، نیوزیلند [۲]، و ژاپن [۳ و ۴] گزارش شده‌اند. مطالعه پیه مونتیت - کوارتزیست‌ها از دیدگاه‌های گوناگون دارای اهمیت است. از دیدگاه کانی‌شناسی، این سنگ‌ها حاوی کانی‌های نادر و گاهی بسیار کمیاب نظری گارت غنی از منگنز، پیروکسن سدیک غنی از منگنز، بروونیت و غیره هستند که مطالعه آنها می‌تواند منجر به اطلاعات با ارزش کانی‌شناسی شود که بدست آوردن آنها از طریق ساخت تجربی کانی‌ها به دلیل شرایط خاص تشکیل بسیار مشکل است [۵ تا ۷]. از دیدگاه سنگ‌شناسی، دگرگونی به دلیل داشتن مجموعه خاصی از کانی‌ها، ترکیب شیمیایی و ارتباطات فازی آنها می‌تواند نقش مهمی در تعیین دقیق‌تر شرایط دگرگونی داشته باشد [۱]. فرمول معمولی کانی‌های خانواده آمفیبول به صورت $A_{0-1}B_2C_5T_8O_{22}(OH,F)_2$ است. عمدترين کاتیون‌هایی که می‌توانند وارد ساختار بلوری آمفیبول‌ها شوند عبارتند از [۸]:



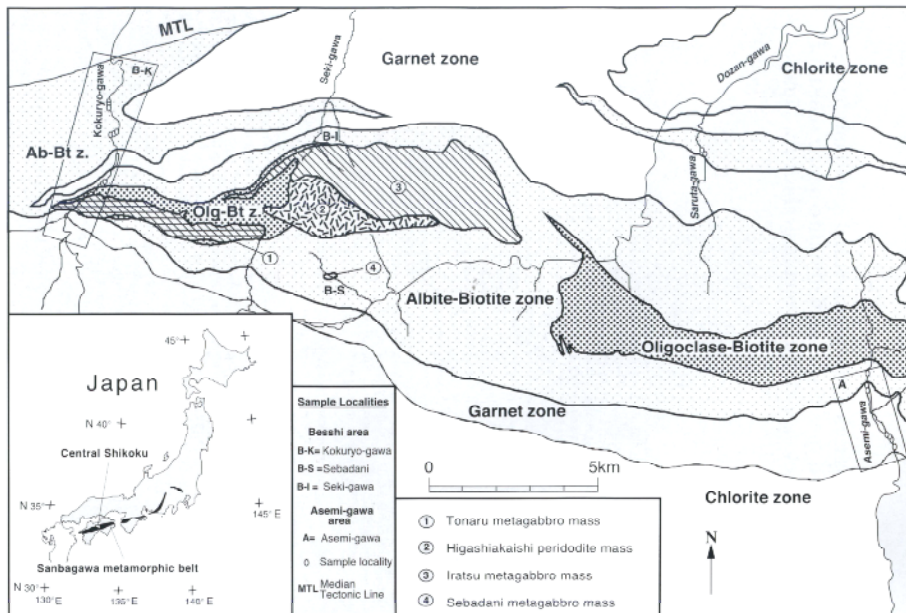
آمفیبول‌ها به عنوان کانی‌های سطل زباله‌ای معرفی شده‌اند [۹] که کنایه از تنوع کاتیون‌های شرکت کننده در ساختار آنها دارد. امتیاز این تنوع ترکیبی در تعیین شرایط دگرگونی آنهاست. در واقع می‌توان گفت که آمفیبول‌ها یکی از بهترین ضبط کننده‌های شیمیایی متغیرهای مهم دگرگونی نظری دما، فشار و فوگاسیته اکسیژن هستند [۸ و ۱۰].

در مطالعات کانی‌شناسی و سنگ‌شناسی پیه مونتیت - کوارتزیست‌های نوارسانگ‌آوا در شیکوکوی مرکزی، آمفیبول‌های سدیک و سدیک - مواد کلسیم داری یافت شدند که بر خلاف انتظار کاملاً بی رنگ بودند و این امر موجب شد که مطالعه دقیقی در مورد میزان فراوانی، خصوصیات نوری، ترکیب کانی‌شناسی، مجموعه کانی‌های همراه، و چگونگی تشکیل آنها انجام شود که نتایج آن در این مقاله ارایه می‌شود.

موقعیت زمین‌شناسی، محل‌های برداشت نمونه و روش تجزیه شیمیایی

نوار دگرگونی سانگ‌آوا واقع در جنوب غربی ژاپن که در کرتاسه متحمل دگرگونی فشار بالا-دمای پائین شده است یکی از نوارهای دگرگونی شناخته شده که تاکنون مطالعات بسیاری در آن انجام گرفته است [۱۱ تا ۱۳] (شکل ۱). این نوار از بخش شمالی به وسیله نوار دگرگونی فشار پائین - دمای بالای ریوک محدود شده است. این دو محدوده متفاوت دگرگونی را گسل بزرگی بنام خط میانی زمین ساختی^۱ از یکدیگر جدا کرده است.

1- Median Tectonic Line, MTL.



شکل ۱ نقشهٔ زون‌های دگرگونی نوار سانباقاوا در شیکوکوی مرکزی (برگرفته از مرجع [۲۲]) و محل‌های برداشت نمونه، B-K، B-I و B-S و B-O مناطق برداشت نمونه در ناحیهٔ بس‌شی را نشان می‌دهند. چهار ضلعی‌ها نمایانگر محل‌هایی است که بیشترین مطالعات در آن صورت گرفته است.

مرز جنوبی نوار سانباقاوا در جنوب مجموعهٔ میکابو و گسل مرتبط با آن واقع شده است. انتهای شرقی نوار در زیر ته نشسته‌های کواترنری کانتو در نزدیکی توکیو قرار دارد و انتهای غربی آن با یک مرز گسله با ته نشسته‌های کرتاسه در کیوشو واقع شده است [۱۴ تا ۱۶] (شکل ۱).

بیشترین و بهترین گسترش از نوار سانباقاوا در شیکوکوی مرکزی واقع شده است و به همین دلیل یکی از مکانهایی است که بیشترین مطالعات مربوط به این نوار در دو محدوده آسمی‌گاوا و بس‌شی واقع در شیکوکوی مرکزی صورت پذیرفته است. نوار سانباقاوا، شیکوکوی مرکزی و مناطق آسمی‌گاوا و بس‌شی در شکل ۱ نشان داده شده‌اند. نوار سانباقاوا به طور قابل توجهی دارای ترکیب سنگ‌شناسی یکنواختی در طول خود است. بخش عمده‌ای از این نوار از شیسته‌های پلیتی تشکیل شده است که بیشتر دارای گرافیتاند. مقادیر کمتری از شیسته‌های پلیتی کربناته نیز در آن وجود دارد. شیسته‌های بازیک که نشان دهنده مواد اولیه پوستهٔ اقیانوسی است نیز بخش قابل توجهی از نوار را تشکیل می‌دهند. کوارتزشیسته‌های غنی از منگنز و آهن نیز که دارای ترکیب کانی‌شناسی بسیار جالبی هستند در این نوار واقع شده‌اند هر چند که دارای فراوانی کمتری از شیسته‌های پلیتی و بازیک هستند. تعدادی بلوكهای

زمین ساختی منفرد از جنس پریدوتیت، متاگابرو و سربانتنیت نیز در نوار واقع شده‌اند [۱۲ و ۱۳]. در جدول ۱ مجموعه و پایداری کانی‌های سیلیکاته در شیسته‌های پلیتی، شیسته‌های بازیک، کوارتزشیستهای غنی از آهن ارائه شده است.

در شیکوکوی مرکزی ظهر کانی‌های شاخص دگرگونی، نوار سانباگاوا را به چهار زون دگرگون تقسیم کرده‌اند که عبارتند از زون‌های کلریت، گارنت، آلبیت - بیوتیت، و الیگوکلاز - بیوتیت [۱۲ و ۱۵ و ۱۶] (تصویر ۱). شرایط دگرگونی نوار سانباگاوا توسط محققین بررسی شده است. براساس این شرایط برای زون کلریت فشار $5\text{-}6\text{ kbar}$ و دمای $250\text{-}300^{\circ}\text{C}$ و برای زون الیگوکلاز - بیوتیت فشار $10\text{-}12\text{ kbar}$ و دمای 610°C تعیین شده است [۱۲]. بنابراین به طور کلی شبیب دما - فشار از زون کلریت به سمت زون آلبیت - بیوتیت مثبت است (مسیر دگرگونی پیش رونده سانباگاوا) اما شواهدی همچون منطقه‌بندی شیمیایی کانی‌هایی مانند آمفیبول و گارنت یک مسیر مرتبط با کاهش فشار دما (مسیر دگرگونی پس رونده سانباگا) را نیز نشان می‌دهند [۱۲].

جدول ۱ پایداری کانی‌های سیلیکات در شیسته‌های پلیتی، هماتیت-کوارتز شیست، هماتیت و پیه مونتیت-کوارتز شیست نوار دگرگونی سانباگاوا. (-) کانی‌های اصلی، (-) کانی‌های فرعی. کوارتر، فنژیت و اپیدوت غالباً وجود دارند. فلوگوپیت به عنوان کانی ثانویه در پیه مونتیت-کوارتز شیستها وجود دارد. مجموعه کانی‌های شیسته‌های پلیتی و هماتیت-بازیک شیستها از مرجع [۱۶] ذکر شده‌اند.

	زون	کلریت	گارنت	آلبیت- بیوتیت	الیگوکلاز - بیوتیت
شیست پلیتی	کلریت				
	گارنت				
	بیوتیت				
	هورنبلند				
	لاآزوونیت	- - - .			
هماتیت-کوارتر شیست	آلبیت				
	وینزیت	- - - -			
	کروسویت	- - - -			
	هورنبلند	- - - -			
	کلریت	- - - -			
	پیروگنین	- - - -			
پیه مونتیت- کوارتز شیست	گارنت	- - - -			
	آلبیت	- - - -			
	کلریت				- - - -
	گارنت				- - - -
	پیه مونتیت				- - - -
	برونیت				- - - -
	ذالک				- - - -
هماتیت-بازیک شیست	آلبیت				- - - -
	کروسویت				- - - -
	باروسویت				- - - -
	هماتیت				- - - -
	وینزیت	- - - -			
	کروسویت	- - - -			
	هورنبلند	- - - -			
	کلریت	- - - -			
	بیوتیت	- - - -			
	گارنت	- - - -			

هرچند که پیه مونتیت-کوارتز شیست‌ها در تمام درجات دگرگونی اشاره شده در شیکوکوی مرکزی یافت می‌شوند اما به جهت بررسی تأثیر دگرگونی بر ترکیب شیمیایی آمفیبول‌ها در این مطالعه نمونه‌ها از زون گارنت واقع در منطقه آسمی گاوا و زون آلبیت-بیوتیت در ناحیه بس-شی برداشت شدند که محل دقیق برداشت نمونه‌ها در شکل ۱ نشان داده شده‌اند. در دو منطقه آسمی گاوا و بس شی پیه مونتیت-کوارتز شیست‌ها به صورت لایه‌های با ضخامت چند سانتی-متر تا چندین متر دیده می‌شوند که در تماس مستقیم با شیست‌های پلیتی و بازیک قرار دارند. بعضی از پیه مونتیت-کوارتز شیست‌ها در تماس مستقیم با کوارتز شیست‌هایی قرار دارند که قادر پیه مونتیت هستند.

تجزیه‌های شیمیایی به وسیله الکترون میکروپرتو مدل Hitachi S550 مجهز به تجهیزات تجزیه‌ای Kevex در دانشگاه کیوتو کشور ژاپن انجام گرفت. جزئیات روش تجزیه با دستگاه از روش پیشنهادی موری [۱۸] و هیراجیما [۱۷] استفاده شد. تصاویر میکروسکوپ الکترونی از نوع BSI با استفاده از میکروسکوپ الکترونی مدل Hitachi S530 & S550 در شرایط ۲۰ KV و شدت جریان درحدود PA ۱۰۰۰ در دانشگاه کیوتو تهیه شدند.

سنگ‌نگاشتی و ترکیب شیمیایی

پیه مونتیت - کوارتز شیست‌های برداشت شده از زون گارنت منطقه آسمی گاوا معمولاً به صورت ترکیبی از لایه‌های غنی از منگنز و غنی از سیلیس دیده می‌شوند که هم در مقیاس مزوسکوپی و هم در مقیاس میکروسکوپی به خوبی قابل شناسایی هستند. در مطالعه سنگ-نگاشتی، پهنانی لایه‌های غنی از پیه مونتیت از ۰/۵ تا ۱/۵ میلی‌متر تغییر می‌کند. این لایه‌ها بیشتر از پیه مونتیت، گارنت، تالک و هماتیت با مقادیر کمتری از کوارتز، فنریت، آلبیت، و بروونیت تشکیل یافته‌اند. لایه‌های غنی از کوارتز معمولاً دارای ۱ تا ۲ میلی‌متر ضخامت هستند و از کوارتز، فنریت، آلبیت، تالک، و کلریت همراه با مقادیر کمتری از پیه مونتیت، گارنت و کلریت به همراه کانی‌های فرعی هماتیت و بروونیت تشکیل شده‌اند. نمونه‌های برداشت شده از ناحیه بس شی تقسیم بندی لایه‌های غنی از کوارتز و غنی از منگنز نظری نمونه‌های برداشت شده از آسمی گاوا را نشان نمی‌دهند و مجموعه کانی‌های تشکیل دهنده پیه مونتیت - کوارتز شیست‌های این منطقه عبارتند از کوارتز + آلبیت + کلریت + گارنت + پیه مونتیت + بروونیت + آپاتیت + هماتیت + تالک + بارویسیت + دولومیت. در جدول ۲ مجموعه کانی‌های پیه مونتیت - کوارتز شیست‌های نواحی بس شی و آسمی گاوا نشان داده شده است. مطالعات سنگ-نگاشتی و شیمی‌کانی نشان می‌دهند که فراوانی مдал تالک در نمونه‌های آسمی گاوا بیشتر از ناحیه بس شی است در حالیکه آمفیبول‌های سدیک بی رنگ فراوانی مдал کمتری در ناحیه آسمی گاوا نسبت به ناحیه بس شی دارند. تعداد کمی از نمونه‌های منطقه بس شی حاوی دولومیت و کلسیت هستند و به طور کلی مطالعات سنگ‌نگاشتی نشان می‌دهند که دولومیت و کلسیت فازهای اصلی تشکیل دهنده پیه مونتیت - کوارتز شیست‌های مطالعه شده نیستند.

جدول ۲ مجموعه کانی های تشکیل دهنده پیه مونتیت - کوارتز شیستهای نوار دگرگونی سانباگاوا.

منطقه		آسمی گاوا				پس شی			
شماره نمونه	1510-0	1510	1213	B5-d	I-6p	I-6q	B-4c	I-1ap	I-1aq
پیه مونتیت	+	+	+	+	+	+	+	+	+
گارنت	+	+	+	+	+	+	+	+	+
برونیت	+	+	+	+	+	+	-	-	-
فنزیت	+	+	-	+	+	+	+	+	+
تالک	+	+	+	+	+	-	+	-	-
کلریت	+	+	+	+	+	+	+	+	+
فلوگوپیت	+	+	-	-	-	-	-	-	-
آلبیت	+	+	+	+	+	+	+	+	+
کوارتز	+	+	+	+	+	+	+	+	+
امفیبول	+	+	+	+	+	-	+	-	+
هماتیت	+	+	+	+	+	+	+	+	+
اباتیت	+	+	+	+	+	-	+	+	+

تالک با شکل صفحه ای به صورت بلورهای مجزا یا به همراه فیلوسیلیکات های دیگر یعنی فنریت و کلریت دیده می شود. تجزیه شیمیایی تالک نشان داد که دارای ترکیبی بسیار نزدیک به فرمول عضو نهایی آن است (جدول ۳).

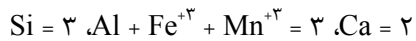
فنریت یکی از کانیهای اصلی تشکیل دهنده پیه مونتیت - کوارتز شیستهای سانباگاوا است که معمولاً در زمینه سنگها دیده می شود اما گاهی به صورت میانبار در پورفیروblast- های آلبیت وجود دارد. فنریت نسبت به سایر فیلوسیلیکات های همراه، دارای درصد آهن بیشتر و منگنز کمتری است. مقایسه ترکیب شیمیایی فنریت بین دو منطقه آسمی گاوا و بس شی نشان می دهد که فنریت های آسمی گاوا دارای Si و Mg زیادتری از فنریت های بس شی هستند که نمایانگر تفاوت دمای دگرگونی بین دو منطقه است [۱۹] (جدول ۳).

کلریت نیز یکی از کانیهای اصلی تشکیل دهنده پیه مونتیت - کوارتز شیستهای محسوب می شود که معمولاً به صورت صفحه در زمینه سنگ واقع می شود. نتایج تجزیه شیمیایی کلریت نشان می دهد که دارای ترکیب شیمیایی بسیار نزدیک به عضو نهایی کلینوکلر است (جدول ۳).

فلوگوپیت تنها در حاشیه فنریت در نمونه های جمع آوری شده از منطقه آسمی گاوا دیده می شود. فنریت که در حاشیه آن فلوگوپیت واقع شده است دارای ساختار منطقه بندی است که در آن از مرکز بلور به حاشیه، مقدار Mg و Si به مقدار کمی افزایش یافته در حالیکه مقدار Al به مقدار کمی کاهش می یابد [۱۹]. مشابه این ساختار منطقه بندی شیمیایی در مرجع [۲۰] نیز گزارش و پیشنهاد شده است که حاشیه در طی مسیر دگرگونی پس رونده سانباگاوا تشکیل شده اند. فلوگوپیت نیز به عنوان یک فاز تشکیل شده در طی دو مرحله پس رونده دگرگونی سانباگاوا تشکیل شده است [۱۹]. ترکیب شیمیایی فنریت ها در جدول ۳ آورده شده است.

پیه مونتیت در تمام نمونه های مطالعه شده با فراوانی بالا (با میانگین ۲۵ درصد) وجود دارد. پیه مونتیت هم به صورت یک فاز اصلی تشکیل دهنده زمینه و هم به صورت میانبار در داخل پورفیروblast های گارنت و آلبیت قرار دارند. ساختار فرمولی پیه مونتیت ها با استفاده از

روش اسمیت [۲۱] محاسبه شد و در اغلب پیه مونتیت‌های تجزیه شده با احتساب ۱۲/۵ اکسیژن، توزیع کاتیونی زیر را نشان می‌دهند:



بنابراین جانشینی Al به جای Si در موقعیت چهاروجهی وجود ندارد. عموماً منگنز به صورت $\text{Mn}^{+۳}$ در موقعیت هشت وجهی است ولی در بعضی از انواع پیه مونتیت‌ها مقداری از منگنز به صورت $\text{Mn}^{+۲}$ جایگزین Ca می‌شود. پیه مونتیت‌های منطقه آسمی گاوا به وضوح دارای ساختار منطقه‌بندی شیمیایی هستند که در آن دو منطقه مرکز و حاشیه قابل مشاهده است. بخش مرکزی یا هسته پیه مونتیت که بخش عمده کانی را تشکیل می‌دهد دارای $\text{Fe}^{+۳}$ کمتر اما $\text{Mn}^{+۳}$ و Al زیادتری از حاشیه است. در پیه مونتیت‌های منطقه بس شی، ساختار منطقه‌بندی شیمیایی به روشنی منطقه آسمی گاوا نیست، اما گاهی ساختار منطقه‌بندی شیمیایی متشکل از مرکز یا هسته کانی و حاشیه آن را نشان می‌دهند که در حاشیه، کانی از $\text{Fe}^{+۳}$ و $\text{Mn}^{+۳}$ نسبت به مرکز کانی غییر است (جدول ۴). گارنت به صورت پورفیروبلاست‌های خود شکل تقریباً در تمامی نمونه‌های مطالعه شده دیده می‌شود و اندازه آنها بین ۱ تا ۳ میلی-متر تغییر می‌کند. گاهی گارنتهای به صورت پویی کیلوبلاست دیده شد که در آن مقادیر زیادی میانبار از پیه مونتیت، کوارتز، هماتیت، برونتیت، تالک و آمفیبول وجود دارند. از نظر شیمیایی این گارنتهای یکنواخت بوده و از نوع اسپسارتین حاوی مقادیری کلسیم و آهن هستند.

جدول ۳ ترکیب‌های شیمیایی فنریت، کلریت، فلوگوپیت و تالک از پیه مونتیت-کوارتز شیست‌های نوار دگرگونی سانبا گاوا.

منطقه	آسمی گاوا				بس شی
	شماره نمونه	فنریت	کلریت	فلوگوپیت	
نام کانی	1510-0	1510-0	1510-0	1510-0	B-5d
شماره تجزیه	۱۴۱۷	۱۴۶	۱۴۱۵	۱۵۶	فنریت
SiO_2	۴۸/۹۲	۳۰/۴	۴۴/۶۱	۶۳/۱۵	۳۴
TiO_2	۱/۰۷	-	-	-	۲۲
Al_2O_3	۲۵/۹۱	۱۹/۲۵	۱۱/۱۵	-	۴۴
Fe_2O_3	۴/۲	۰/۷۶	۰/۸۱	۰/۰۷	۴۸/۱۸
Mn_2O_3	۰/۴۹	-	-	-	۲۹/۸۳
MnO	-	۲/۰۶	۱/۱۲	۰/۳۳	۶۲/۷۳
MgO	۲/۱۸	۳۱/۷۹	۲۴/۸	۳۰/۹۶	۱/۰۷
CaO	-	-	-	-	۱۸/۸۸
Na_2O	۱/۲۷	-	-	-	۴/۳۸
K_2O	۹/۶۴	-	۱۰/۱۲	-	۰/۷۴
Total	۹۴/۶۸	۸۴/۲۶	۹۲/۶۱	۹۴/۵۱	۰/۱۵
	O=۲۲	O=۲۸	O=۲۲	O=۲۲	۰/۱۷

Si	۶/۶۱	۵/۸۸	۶/۳۶	۸
AlIV	۱/۳۹	۲/۱۲	۱/۶۴	-
AlVI	۲/۷۴	۲/۲۲	۰/۲۳	-
Ti	۰/۱۱	-	-	-
Fe3+	۰/۴۳	۰/۱۱	۰/۰۹	۰/۰۰۷
Mn3+	۰/۰۵	-	-	-
Mn2+	-	۰/۳۴	۰/۱۳	۰/۰۳
Mg	۰/۶۴	۹/۱۶	۵/۲۷	۵/۸۷
Ca	-	-	-	-
Na	۰/۳۳	-	-	-
K	۱/۶۶	-	۱/۸۴	-
Total	۱۳/۹۶	۱۹/۸۳	۱۵/۵۷	۱۳/۹
	۶/۴۵	۵/۹	۸	
	۱/۵۵	۲/۱	-	
	۲/۸۲	۲/۳	-	
	۰/۱	-	-	
	۰/۴۴	۰/۱	۰/۰۱۴	
	۰/۰۲	-	-	
	-	۰/۲۳	۰/۰۳	
	۰/۶۳	۹/۲۲	۵/۸۹	
	-	-	-	
	۰/۳۲	-	-	
	۱/۶۷	-	-	
	۱۴	۱۹/۸۵	۱۳/۹	

جدول ۴ ترکیب‌های شیمیایی پیه مونتیت و گارنت از پیه مونتیت-کوارتز شیست‌های مناطقه آسمی گاوا و بس شی.

منطقه	آسمی گاوا			بس شی			
	شماره نمونه	۱۵۱۰-۰	۱۵۱۰-۰	۱۵۱۰-۰	B5-d	B5-d	B-5d
شماره نمونه	۱۵۱۰-۰	۱۵۱۰-۰	۱۵۱۰-۰	پیه مونتیت	-	گارنت	
نام کائی		-			۳۹	۳۱۰	۴۷
شماره تجزیه	۵۱۱۲	۵۲۱۲	۲۷				
مرکز/حاشیه	مرکز	حاشیه	-	مرکز	حاشیه	-	
SiO ₂	۳۴/۷۴	۳۸/۵۵	۳۷/۳۹		۳۷/۸۹	۳۷/۸۹	۳۷/۸۳
TiO ₂	۰/۱۱	۰/۰۷	۰/۲۳		-	-	۰/۱۹
Al ₂ O ₃	۲۰/۰۵	۱۹/۰۷	۱۹/۰۸		۲۱/۲۵	۲۱/۱۹	۲۰/۰۸
Fe ₂ O ₃	۲/۹	۹/۷۸	۱/۷۴		۸/۸۹	۹/۳۱	۱/۶۶
Mn ₂ O ₃	۱۴/۰۸	۱۱/۷۵	-		۷/۰۳	۷/۴۲	-
MnO	-	-	۳۶/۹۲		-	-	۳۴/۷۶
MgO	-	-	۰/۷۱		-	-	۱/۶۲
CaO	۲۲/۹۹	۱۹/۸۱	۴/۰۸		۲۱/۳	۲۰/۸۵	۴/۵۷
Total	۹۸/۸۷	۹۹/۰۳	۱۰۰/۶۳		۹۶/۳۶	۹۶/۶۷	۱۰۰/۶۹
	O=۱۲/۵		O= ۱۲		O=۱۲/۵		O= ۱۲
Si	۳/۰۱	۳/۰۷	۳/۰۴		۲/۹۵	۲/۹۴	۳/۰۲
Ti	۱/۹۴	۰/۰۱	۰/۰۱		-	-	۰/۰۱
Al	۰/۱۸	۱/۸	۱/۸۶		۱/۹۵	۱/۹۴	۱/۸۹
Fe3+	۰/۸۸	۰/۰۸	۰/۰۹		۰/۰۲	۰/۰۴	۰/۱
Mn3+	۰/۸۸	۰/۰۲	-		۰/۴۲	۰/۰۴	-
Mn2+	-	۰/۰۱	۲/۰۵		-	-	۲/۳۵
Mg	-	-	۰/۰۸		-	-	۰/۱۹
Ca	۱/۹۶	۱/۸۹	۰/۰۴		۱/۷۷	۱/۷۳	۰/۳۹
Total	۷/۹۸	۷/۷۸	۷/۹۷		۷/۶۱	۷/۰۹	۷/۹۷

آلیت به صورت پورفیرو و پویی کیلوبلاست مشاهده می‌شود و حاوی مقادیر زیادی میانبار از انواع هماتیت، تالک، فنتیت، آمفیبول، پیه مونتیت و کوارتز است. هماتیت هم به صورت یک فاز در زمینه و هم به صورت میانبار در داخل پورفیروبلاستهای گارنت و آلیت دیده می‌شود و میانگین ترکیب شیمیایی آن به صورت O_2 (Fe_{1/9}Mn_{1/8}Ti_{1/10}) است. برونیت نیز در زمینه و نیز به صورت میانبار در داخل گارنت مشاهده می‌شود. برونیتها معمولاً از نظر شیمیایی یکنواخت بوده و ترکیب آنها بین دو منطقه آسمی گاوا و بس شی تغییر چندانی نمی‌کند. میانگین ترکیب شیمیایی برونیت به صورت $(Mn^{+3})_{0.7} Fe^{+2}_{0.1} SiO_{12}$ است. برای جزئیات بیشتر در سنگ‌نگاشتی، ترکیبات شیمیایی، ارتباطات فازی و مطالعات سنگ‌شناسی پیه مونتیت - کوارتز شیستهای نوارسانباگاوا مراجع [۲۲ و ۱۹] را ببینید.

ترکیب شیمیایی و خصوصیات نوری آمفیبول‌های سدیک و سدیک - کلسیک بی رنگ
آمفیبول‌های سدیک بی رنگ تقریباً در تمامی نمونه‌های مطالعه شده از هر دو منطقه آسمی - گاوا و بس شی مشاهده می‌شوند. اما نحوه حضور، میزان فراوانی، و ترکیب شیمیایی آنها در دو منطقه کاملاً متفاوت است. در نمونه‌های متعلق به منطقه آسمی گاوا آمفیبول‌های بی رنگ فقط به صورت میانبار در داخل پورفیروبلاستهای آلیت و گارنت مشاهده می‌شوند (شکل ۲). این آمفیبول‌ها از نظر شیمیایی یکنواخت بوده و ترکیب شیمیایی آنها در جدول ۵ ارایه شده‌اند.

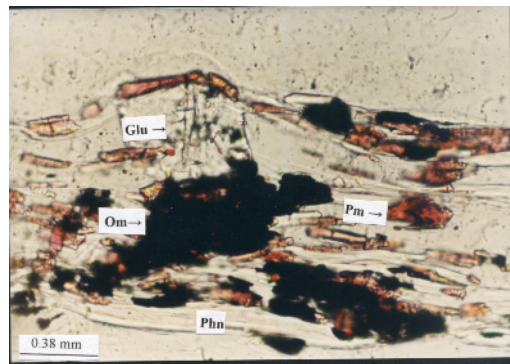
برای نامگذاری آمفیبول‌ها از روش لیک و همکاران [۲۳] استفاده شد. به دلیل وجود فوگاسیتۀ اکسیژن بالا هنگام تشکیل آمفیبول، تمام آهن به صورت Fe^{+3} در نظر گرفته شده است. بر این اساس چون مقدار $Na_B \geq 1,50$ است لذا آمفیبول‌های بی رنگ منطقه آسمی گاوا در گروه آمفیبول‌های سدیک منظور می‌شوند و با توجه به متغیرهای دیگر که عبارتند از $Al^{VI} > Fe^{3+} > Mg/(Mg + Fe^{2+}) = 1$ ، $Si = 8$ آمفیبول‌های بی رنگ منطقه آسمی گاوا از نوع گلوكوفان هستند (جدول ۳). در حالیکه آمفیبول‌های بی رنگ منطقه بس شی به عنوان یک فاز نسبتاً فراوان با شکل منشوری در زمینه سنگ مشاهده می‌شوند (شکل ۳ و ۴)، مطابق نامگذاری لیک و همکاران [۲۳] چون $Na_B < 0,50$ و $(Ca + Na)_B \geq 1$ است لذا آمفیبول‌های بی رنگ منطقه بس شی در گروه آمفیبول‌های سدیک - کلسیک قرار می‌گیرند. نام یک آمفیبول از منطقه بس شی در جدول ۵ با در نظر گرفتن مقادیر متغیرهایی چون $Na_A < 0,50$ ، $Si = 7,473$ و $Mg/(Mg + Fe^{2+}) = 1$ ، $Al^{VI} > Fe^{3+} > Mg/(Mg + Fe^{2+}) = 1$ ، $Si = 7,168$ و $Mg/(Mg + Fe^{2+}) = 1$ ، $Na_A > 0,50$ تعیین می‌شود. نمونه دیگر منطقه بس شی ذکر شده در جدول ۳ با توجه به متغیرهای همزیستی آمفیبول‌های بی رنگ با کانی‌های غنی از منگنز، آمفیبول‌های بی رنگ مربوط به هر دو منطقه حاوی مقادیر کمی منگنز هستند (جدول ۵).

جدول ۵ ترکیب‌های شیمیایی آمفیبول‌های سدیک و سدیک-کلسیک بی رنگ از پیه مونتیت-کوارتز شیستهای آسمی گاوا و بس شی و آمفیبول‌های سدیک و سدیک-کلسیک رنگی از اپیدوت-کوارتز شیستهای گارنت زون و آلیت - بیوتیت زون سانباغاوا. دادهای آمفیبول‌های رنگی از مرجع [۲۴] نقل شده‌اند.

منطقه	آسمی گاوا				بس شی			
	شماره نمونه	نام کانی	گلوكوفان	گلوكوفان	بارویسیت	بارویسیت	مگنزیوکاتوفوریت	وینچیت
شماره تجزیه	۷۳۹		۸۳۹	-	-	۱۸	۲۱۱	-
مرکز/حاشیه	-	-	مرکز	حاشیه	-	-	مرکز	حاشیه
SiO ₂	۵۹/۱۷	۶۰/۱۶	۵۷/۰	۵۱/۰	۵۴/۱۰	۵۱/۹۹	۵۴/۰	۴۵/۷۰
TiO ₂	۰/۰۳	۰/۰۷	۰/۰۱	۰/۰۵	-	-	۰/۰۷	۰/۹۸
Al ₂ O ₃	۷/۱۹	۹/۴۳	۶/۸۸	۵/۸۵	۶/۴۸	۸/۶۷	۲/۹۴	۱۳/۱۰
Fe ₂ O ₃	۷/۱۹	۵/۹۲	-	-	۷/۲۳	۷/۲۸	-	-
Mn ₂ O ₃	۰/۳۱	۰/۵۹	-	-	۱/۵۵	۰/۱۴	-	-
FeO	-	-	۱۱/۶۰	۱۵/۵۰	-	-	۲۰/۳۰	۱۷/۷۰
MnO	-	-	۰/۴۲	۰/۹۱	-	-	۰/۲۶	۰/۳۸
MgO	۱۴/۶۹	۱۲/۷۷	۱۲/۵۰	۱۲/۸۰	۱۷/۶۹	۱۷/۴۹	۱۰/۵۰	۸/۳۴
CaO	۰/۵۹	۰/۶۰	۰/۸۲	۶/۴۰	۵/۵۸	۶/۸۰	۴/۵۱	۶/۴۲
Na ₂ O	۷/۰	۷/۸۶	۷/۰۴	۴/۲۶	۵/۱۷	۵/۸۰	۴/۹۴	۵/۰۴
K ₂ O	۰/۰۵	۰/۰۳	۰/۰	۰/۱۸	-	۰/۲۵	۰/۰۷	۰/۵۷
Total	۹۶/۲۲	۹۷/۴۳	۹۶/۲۷	۹۷/۰	۹۷/۸۰	۹۸/۴۲	۹۸/۰	۹۸/۲۳
O=۲۳	O=۲۳	O=۲۳	O=۲۳	O=۲۳	O=۲۳	O=۲۳	O=۲۳	O=۲۳
Si	۸/۰۵	۸/۰۵	۷/۹۰	۷/۳۱	۷/۴۵	۷/۱۷	۷/۹۴	۶/۶۸
AlIV	-	-	۰/۱۰	۰/۶۹	۰/۵۵	۰/۵۸	۰/۲۱	۱/۳۲
AlVI	۱/۱۵	۱/۴۹	۱/۰۳	۰/۳۰	۰/۵۰	۰/۵۸	۰/۲۹	۰/۹۳
Ti	۰/۰	۰/۰۱	۰/۰	۰/۰۱	-	-	۰/۰	۰/۰۴
Fe ³⁺	۰/۷۴	۰/۶۰	۰/۹۴	۱/۲۱	۰/۷۵	۰/۷۵	۱/۱۴	۰/۷۶
Mn ³⁺	۰/۰۳	۰/۰۶	-	-	۰/۱۶	۰/۰۲	-	-
Fe ²⁺	-	-	۰/۴۰	۰/۶۵	-	-	۱/۲۹	۱/۴۰
Mn ²⁺	-	-	۰/۰۵	۰/۱۱	-	-	۰/۰۳	۰/۰۵
Mg	۲/۹۸	۲/۵۹	۲/۵۸	۲/۷۳	۳/۶۳	۳/۵۹	۲/۸۴	۱/۸۲
Ca	۰/۰۸	۰/۰۹	۰/۱۲	۰/۹۸	۰/۸۲	۱/۰	۰/۶۹	۱/۰
Na	۱/۸۵	۲/۰۴	۱/۸۹	۱/۱۸	۱/۳۸	۱/۵۵	۱/۳۷	۱/۴۳
K	۰/۰۱	۰/۰۱	۰/۰	۰/۰۳	-	۰/۰۴	۰/۰۱	۰/۱۰
Total	۱۴/۸۹	۱۴/۹۴	۱۵/۰۱	۱۵/۲۰	۱۵/۲۴	۱۵/۲۸	۱۵/۸۱	۱۵/۵۵

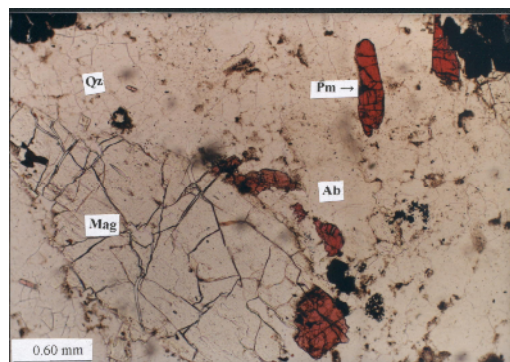
به این دلیل که فوگاسیتۀ اکسیژن، ترکیب شیمیایی سنگ مادر، و مجموعه کانیهای همزیست در پیه مونتیت-کوارتز شیستهای منطقه آسمی گاوا و بس شی با یکدیگر متشابه-

اند، تنها عاملی که باعث تفاوت میان ترکیب شیمیایی آمفیبولهای بی رنگ و سایر کانیهای همزیست بین دو منطقه می‌شود مربوط به اختلاف درجه دگرگونی است [۲۲، ۱۹ و ۳]. مشابه این روند در آمفیبولهای انواع دیگر شیستهای سانباقاوا نیز گزارش شده‌اند [۲۳ و ۲۴].



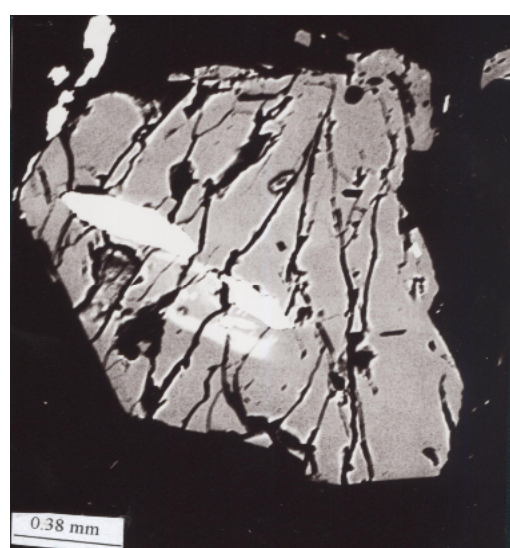
شکل ۲ تصویر میکروسکوپی از گلوکوفان بی‌رنگ که به صورت میانبار داخل پورفیرو بلاست آلبیت دیده می‌شود. نمونه یک پیه‌مونتیت-کوارتز شیست متعلق به منطقه آسمی گاواست (نمونه شماره ۰-1510).

Pm: پیه‌مونتیت، Phn: فرزیت،
Glu: کانیهای اپک، Om: گلوکوفان.



شکل ۳ تصویر میکروسکوپی از مگنزیو کاتوفوریت بی‌رنگ متعلق به یک پیه‌مونتیت-کوارتز شیست از منطقه بس‌شی (نمونه شماره B5-d).

Pm: پیه‌مونتیت، QZ: کوارتز، Mag: مگنزیو کاتوفوریت، Ab: آلبیت.



شکل ۴ تصویر پسپراکندگی میکروسکوپ الکترونی از یک مگنزیو گاتوفوریت بی‌رنگ متعلق به یک پیه‌مونتیت - کوارتز شیست از منطقه بس‌شی (نمونه شماره d).

برای مقایسه ترکیب شیمیایی آمفیبول های بی رنگ در پیه مونتیت - کوارتز شیسته ای سانباگاوا، نمونه هایی از کوارتز شیسته های فاقد پیه مونتیت اما دارای اپیدوت در همان درجه دگرگونی از دو منطقه آسمی گاوا و بس شی نیز برداشت شدند. لایه های اپیدوت - کوارتز شیسته های دیده می شوند. همه نمونه ها دارای آمفیبول های سدیک و سدیک - کلسیک رنگی بود که ویژگی های نوری و شیمیایی آنها برای مقایسه با آمفیبول های کامل بی رنگ سدیک و سدیک - کلسیک مورد استفاده قرار گرفت. بیان دقیق ترکیب شیمیایی و ارتباطات فازی اپیدوت - کوارتز شیسته ها مورد بحث این مقاله نیست و فقط ویژگی های شیمیایی و نوری آمفیبول های رنگی آنها برای مقایسه با آمفیبول های کامل بی رنگ در پیه مونتیت - کوارتز شیسته ها آورده شده اند. علاوه بر این مطالعه جزئیات مرتبط با اپیدوت - کوارتز شیسته های نوار سانباگاوا در منطقه شیکوکوی مرکزی دارای مجموعه کانیایی گارنت، آمفیبول، اپیدوت، کلریت، فریت، آلبیت، کوارتز، و هماتیت اند.

آمفیبول های همراه با اپیدوت - کوارتز شیسته همگی رنگین بوده و دارای فراوانی بیشتری نسبت به آمفیبول های بی رنگ در پیه مونتیت - کوارتز شیسته ها هستند. این آمفیبول ها هم در زمینه سنگ و هم به صورت میانیار در پورفیروblast های آلبیت وجود دارند. عموماً این آمفیبول ها دارای ساختار منطقه بندی شیمیایی نیز هستند.

در جدول ۵ ترکیب شیمیایی آمفیبول های رنگی از اپیدوت - کوارتز شیسته ها در منطقه شیکوکوی مرکزی از زون های دگرگونی گارنت و آلبیت - بیویت که همان زون های دگرگونی پیه مونتیت - کوارتز شیسته ها هستند، انتخاب شده اند. نسبت $\text{Fe}^{3+}/\text{Fe}^{2+}$ در آمفیبول های موجود در اپیدوت - کوارتز شیسته ها بر اساس مجموع کاتیون ۱۳ بر مبنای O = ۲۳ محاسبه شده اند با در نظر گرفتن این واقعیت که میزان ($\text{Mg}^{2+}, \text{Mn}^{2+}, \text{Fe}^{2+}, \text{M}_{(4)}$) در موقعیت آمفیبول های سنگهای دگرگونی سانباگاوا پائین است [۲۵ و ۲۶]. این آمفیبول های نیز با استفاده از روش نامگذاری لیک و همکاران [۲۳] نامگذاری شده اند. به این ترتیب آمفیبول های رنگی موجود در اپیدوت - کوارتز شیسته ها متعلق به درجه آلبیت - بیویت زون عبارتند از آمفیبول های سدیک - کلسیک و ینچیت در مرکز و آمفیبول سدیک - کلسیک مگنزیو کاتوفوریت در حاشیه (جدول ۵). آمفیبول های رنگی موجود در اپیدوت - کوارتز شیسته های متعلق به درجه گارنت در منطقه آسمی گاوا در مرکز عبارت است از آمفیبول سدیک از نوع گلوکوفان و در حاشیه آمفیبول سدیک - کلسیک از نوع بارویسیت (جدول ۵).

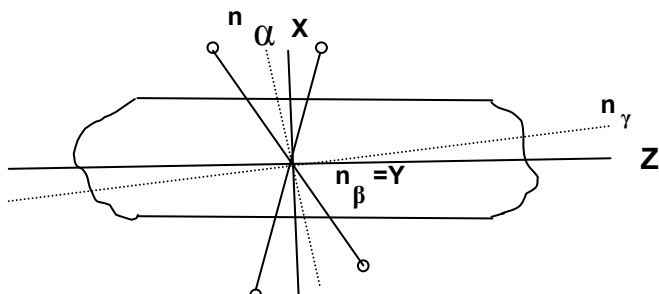
ساختار منطقه بندی شیمیایی مشاهده شده به مسیرهای دگرگونی پیش رونده و پس رونده نوار دگرگونی سانباگاوا نسبت داده شده است [۲۰ و ۲۴]. مشخصات نوری آمفیبول های سدیک و سدیک - کلسیک بی رنگ از پیه مونتیت - کوارتز شیسته ها و آمفیبول های سدیک و

سدیک - کلسیک رنگی از اپیدوت - کوارتز شیستهای در مناطق آسمی گاوا و بس شی با استفاده از پلاتین یونیور سال فدروف مورد بررسی دقیق قرار گرفتند. آمفیبول‌های موجود در پیه مونتیت - کوارتزشیست در هر دو منطقه آسمی - گاوا و بس شی بی رنگ بوده و فاقد چند رنگی در جهات α , β , γ هستند. مقدار زاویه خاموشی میان جهات γ و Z در حدود ۱۳ درجه ($n_{\gamma} \perp Z = 13$) است و مقدار زاویه بین دو محور نوری در حدود ۲۰ درجه ($2V_{(\alpha)} = 20$) تعیین شد. این آمفیبول‌ها دو محوره منفی بوده و سمتگیری نوری آنها به گونه‌ای است که ضریب شکست β منطبق بر جهت Y بلورشناسی است (شکل ۵). در حالیکه در آمفیبول‌های بی رنگ منطقه بس شی مقدار زاویه خاموشی بین γ و Z در حدود ۱۷ درجه ($n_{\gamma} \perp Z = 17$) و زاویه بین دو محور نوری در حدود 25° است ($2V_{(\alpha)} = 25$) است. آمفیبول‌های بی رنگ منطقه بس شی دو محوره منفی بوده و از نظر سمتگیری نوری در آن ضریب شکست β منطبق بر جهت Y است.

آمفیبول‌های رنگی از اپیدوت - کوارتز شیستهای منطقه آسمی گاوا دارای مشخصات نوری زیرنده: چند رنگی واضح (سبز متمایل به زرد = α , سبز متمایل به آبی = β و آبی متمایل به سبز = γ), زاویه خاموشی بین جهات γ و Z بین ۲۰ تا ۲۴ درجه ($n_{\gamma} \perp Z = 20 - 24$), دو محوره منفی با زاویه بین دو محور نوری متغیر بین ۴۵ تا ۴۸ درجه ($2V_{(\alpha)} = 45 - 48$) و از نظر سمتگیری نوری β منطبق بر Y است. مشخصات نوری آمفیبول‌های رنگی از اپیدوت - کوارتز شیستهای منطقه بس شی بشرح زیرنده:

چند رنگی (سبز متمایل به زرد = α و سبز = β و سبز متمایل به آبی = γ). زاویه خاموشی بین جهات γ و Z بین ۳۰ تا ۳۵ درجه ($n_{\gamma} \perp Z = 30 - 35$). دو محوره منفی با زاویه بین دو محور نوری متغیر بین ۵۰ تا ۵۵ درجه ($2V_{(\alpha)} = 50 - 55$) و از نظر سمتگیری نوری β منطبق بر Y است.

چنانکه مشاهده می‌شود تفاوت‌های آشکاری از نظر خصوصیات نوری بین آمفیبول‌های بی رنگ و آمفیبول‌های رنگی حتی در یک درجه دگرگونی وجود دارد. این تفاوت‌ها علاوه بر تفاوت شاخص چند رنگی مربوط به زاویه خاموشی و زاویه بین دو محور نوری کمتر در آمفیبول‌های بی رنگ است.



شکل ۵ سمتگیری نوری آمفیبول‌های سدیک و سدیک-کلسیک بی رنگ. X , Y , Z = جهت‌های بلورشناسی، n_{α} , n_{β} , n_{γ} = ضرایب شکست نوری، 0 = جهت محورهای نوری.

چگونگی تشکیل آمفیبول های سدیک و سدیک - کلسیک بی رنگ

آنچه که می‌توان گفت، آمفیبول های بی رنگ موجود در پیه مونتیت - کوارتز شیستها و آمفیبول های رنگی موجود در اپیدوت - کوارتز شیستها در شرایط مشابه دگرگونی از نظر دما و فشار تشکیل شده‌اند به این دلیل است که هر دو از یک درجه دگرگونی برداشت شده‌اند که عبارتند از زون گارنت در منطقه آسمی گاوا را و زون دگرگونی بالاتر آلبیت - بیوتیت در منطقه بس شی. بنابراین اگر آمفیبول های بی رنگ و رنگی هر زون دگرگونی را به طور جداگانه در نظر بگیریم این امکان وجود خواهد داشت که دو متغیر مهم دگرگونی دما - فشار را در تشکیل این آمفیبول ها ثابت فرض کنیم. مقایسه مجموعه کانیهای همزیست پیه مونتیت - کوارتز شیست و اپیدوت - کوارتز شیست نشان می‌دهد که دو متغیر مهم دیگر دگرگونی یعنی فوگاسیتۀ اکسیژن و ترکیب شیمیایی سنگ مادر در تشکیل آمفیبول های سدیک و سدیک - کلسیک بی رنگ دخالت داشته‌اند.

برای شناسائی تأثیر فوگاسیتۀ اکسیژن می‌توان از ترکیب شیمیایی فازهای همراه و همزیست با آمفیبول های بی رنگ استفاده کرد. در پیه مونتیت - کوارتز شیستها، منگنز به هر دو صورت Mn^{2+} و Mn^{3+} وجود دارد. بیشترین مقدار منگنز سه ظرفیتی در ساختار پیه مونتیت وجود دارد و مقدار باقیمانده آن جذب ساختار بروونیت شده است. منگنز دو ظرفیتی در ساختار اسپسارتین گارنت بکار گرفته شده است و مقدار باقیمانده جهت تشکیل بروونیت به کار رفته است (جدول ۴). آهن نیز علاوه بر منگنز از عناصر حساس به تغییرات فوگاسیتۀ اکسیژن است. نکته جالب اینکه آهن فقط به صورت سه ظرفیتی Fe^{3+} در این شیستها موجود بوده که بخش عمده آن در هماتیت مورد استفاده قرار گرفته است. مقادیر کمتری از Fe^{3+} در ساختار اسپسارتین گارنت (به صورت عضونهایی آندرادیت) و مقداری نیز در ساختار پیه مونتیت (به صورت عضو نهایی پیستاسیت) وارد شده‌اند. این امر موجب شده است که آهن در ترکیب سایر کانیها از جمله کلریت، تالک، فنریت و آمفیبول یا وارد نشده و یا به صورت درصدهای بسیار کم بصورت سه ظرفیتی در آمده است. بنحویکه تقریباً تمام آنها را می‌توان غنی از منیزیم نامید (جدول ۳ و ۵). در مقابل منگنز در اپیدوت - کوارتز شیستها فقط به صورت منگنز دو ظرفیتی (Mn^{2+}) در ساختمان گارنت دیده می‌شود. آهن هم به صورت دو ظرفیتی (Fe^{2+}) و هم به صورت سه ظرفیتی (Fe^{3+}) در این شیستها وجود دارد. آهن دو ظرفیتی بیشتر در ساختار کلریت، آمفیبول و فنریت وارد شده‌اند در حالیکه آهن سه ظرفیتی بیشتر در ساختمان هماتیت، گارنت و اپیدوت یافت می‌شوند (جدول ۵).

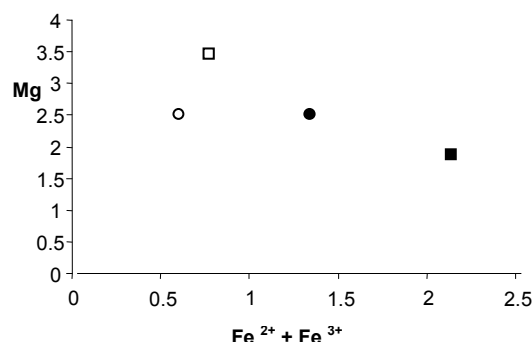
چوپین [۲۷] معتقد است که اگر منگنز بیشتر به صورت سه ظرفیتی در ساختار پیه مونتیت و بروونیت و به صورت دو ظرفیتی در ساختار اسپسارتین گارنت وجود داشته باشد و نیز آهن فقط به صورت سه ظرفیتی و بیشتر در فاز با اهمیت هماتیت یافت شود، آن مجموعه اکسید شده است. وی همچنین اشاره می‌کند که اگر منگنز فقط به صورت دو ظرفیتی در کانیهای همچون گارنت وجود داشته باشد آن مجموعه احیاء شده است. بنابراین پیه مونتیت - کوارتز شیستها یک مجموعه اکسیدان در نظر گرفته شده‌اند در حالیکه اپیدوت - کوارتز

شیست‌ها یک مجموعه احیاء شده‌اند. مقایسه تركیب شیمیایی آمفیبول‌های بی‌رنگ و رنگی (شکل ۶ و جدول ۵) متعلق به یک زون دگرگونی به وضوح نشان می‌دهد که تفاوت اصلی میان تركیب شیمیایی این دو گروه مربوط است به افزایش آهن دو و سه ظرفیتی و کاهش مقدار منیزیم در ساختار آمفیبول‌های رنگی. نتایج مطالعات تجزیی در مورد آمفیبول‌ها نیز نشان می‌دهد که با افزایش فوگاسیتۀ اکسیژن نسبت $(\text{Fe}+\text{Mg})/\text{Fe}$ به طور چشمگیری کاهش می‌یابد [۲۸] که در تطابق آشکاری با نسبت مشاهده شده در مورد آمفیبول‌های بی‌رنگ و رنگی است. در واقع عامل اصلی تشکیل آمفیبول‌های سدیک و سدیک-کلسیک بی‌رنگ، وجود فوگاسیتۀ اکسیژن بسیار بالاست. این فوگاسیتۀ اکسیژن در حدی بوده است که در آن شرایط بخش عمده منگنز به صورت سه ظرفیتی و تمام آهن به صورت سه ظرفیتی وجود داشته‌اند، به گونه ایکه تقریباً تمام آهن وارد ساختار هماتیت شده است. در واقع می‌توان گفت که تحت شرایط فوگاسیتۀ اکسیژن بالا، آمفیبول‌های غنی از منیزیم و فقیر از آهن تشکیل شده است که همین امر موجب تغییر خصوصیات نوری از جمله بی‌رنگی، زاویۀ خاموشی و زاویۀ بین دو محور نوری شده است (شکل ۶ و ۷). به نظر می‌رسد که شرایط فوگاسیتۀ اکسیژن بالا در پیه مونتیت - کوارتز شیست‌ها ناشی از تأثیر سنگ مادر باشد تا تغییرات فوگاسیتۀ اکسیژن در حین دگرگونی. دلایل این نظر به شرح زیر است:

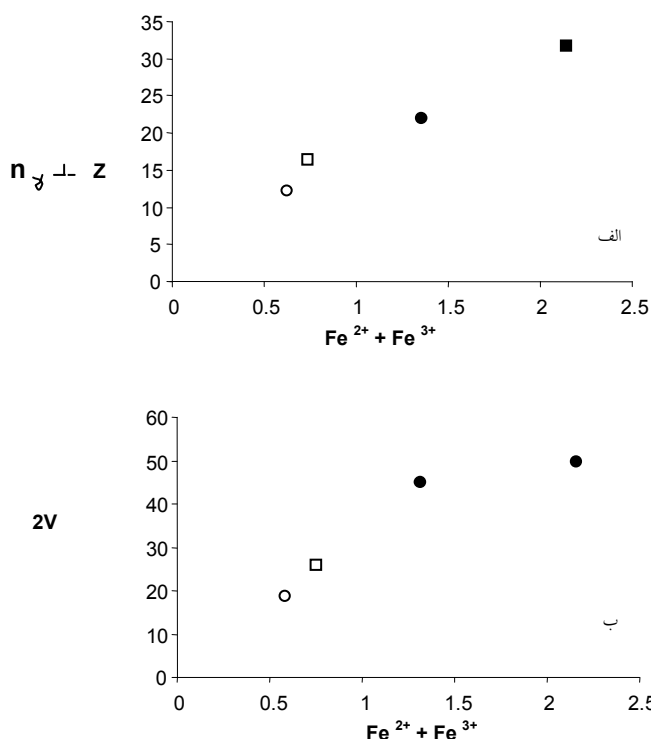
(الف) لایه‌های پیه مونتیت - کوارتز شیست و اپیدوت کوارتز شیست به صورت هم‌شیب و حتی گاهی در مقیاس سانتی متری به صورت بین لایه‌ای واقع شده‌اند. این نشان می‌دهد که هر دو در شرایط یکسانی در زون فرورانش وارد شده و دگرگون شده‌اند. لذا فوگاسیتۀ اکسیژن ناشی از دگرگونی به عنوان یک عامل خارجی در شرایط یکسان نمی‌تواند در چنین مقیاسی تغییرات بسیار زیادی داشته باشد.

(ب) میانبارهای پیه مونتیت و هماتیت به عنوان دو کانی حساس به تغییرات شرایط فوگاسیتۀ اکسیژن در مرکز و حاشیۀ پورفیروبلاست‌های گارنت و آلبیت واقع شده‌اند. نیز در زمینه سنگ نیز با همان ترتیب دیده می‌شوند. لذا از آغاز تا انتهای دگرگونی تغییر واضحی در شرایط فوگاسیتۀ اکسیژن حاصل نشده است، و در همه زمان دگرگونی فوگاسیتۀ اکسیژن بسیار بالا بوده است.

ایزدیار و همکاران [۲۲] در مطالعات ژئوشیمیایی سنگ مادر پیه مونتیت - کوارتز شیست‌ها نشان دادند که چهار فرایند در شکل گیری سنگ منشأ آنها دخالت داشته‌اند که عبارتند از: منشأ تخریبی (آورنده عناصری نظیر TiO_2 , Al_2O_3 , MgO , Na_2O , K_2O), منشأ زیستی (آورنده عناصری نظیر CaO , SiO_2) و منشأ گرمایی (آورنده اصلی MnO). در واقع پیه-مونتیت - کوارتز شیست‌های نوارسانبگاوا معادل دگرگونی ترکیب ته نشستهای پلاژیک مناطق عمیق اقیانوسی، سیلیس و CaO با منشأ زیستی و گرهکهای اکسید منگنز با منشأ گرمایی هستند. بسیاری از محققین نشان داده‌اند که معادل امروزی چنین ته نشستهایی در شرایط اکسیدان بالا تشکیل می‌شوند [۲۹].



شکل ۶ نمودار $Mg / Fe^{2+} + Fe^{3+}$ برای آمفیبول های سدیک و سدیک - کلسیک بی رنگ و رنگی زون های گارنت و آلبیت - بیوتیت. ○ = گلوکوفان بی رنگ زون گارنت؛ ● = گلوکوفان رنگی زون گارنت، □ = مگنزیوکاتوفوریت و بارویسیت بی رنگ زون آلبیت - بیوتیت، ■ = مگنزیوکاتوفوریت و بارویسیت رنگی زون آلبیت - بیوتیت.



شکل ۷ نمودارهای زاویه خاموشی ($n\gamma \pm Z$) و (b) و زاویه بین دو محور نوری ($2V_a$) در مقابل $Fe^{2+} + Fe^{3+}$ برای آمفیبول های سدیک و سدیک - کلسیک بی رنگ و رنگی زون های گارنت و آلبیت - بیوتیت. ○ = گلوکوفان بی رنگ زون گارنت، ● = گلوکوفان رنگی زون گارنت، □ = مگنزیوکاتوفوریت و بارویسیت بی رنگ زون آلبیت - بیوتیت، ■ = مگنزیوکاتوفوریت و بارویسیت رنگی زون آلبیت - بیوتیت.

برداشت

- ۱- آمفیبول‌های سدیک و سدیک - کلسیک بی رنگ در پیه مونتیت - کوارتز شیستهای سانباگاوا و آمفیبول‌های سدیک و سدیک - کلسیک رنگی در اپیدوت - کوارتز شیستهای سانباگاوا در منطقهٔ شیکوکوی مرکزی ژاپن وجود دارند.
- ۲- نتایج مطالعات تجزیه شیمیایی با استفاده از الکترون مایکروپرور نشان می‌دهد که آمفیبول‌های بی رنگ منطقهٔ آسمی گاوا واقع در زون گارتنت از نوع گلوکوفان و آمفیبول‌های بی‌رنگ منطقهٔ بس شی واقع در زون آلبیت - بیوتیت از نوع بارویسیت و مگنزیوکاتوفوریت هستند.
- ۳- مشخصات نوری آمفیبول‌های سدیک و سدیک - کلسیک بی رنگ عبارتند از گلوکوفان بی رنگ منطقهٔ آسمی گاوا فاقد چند رنگی در جهات α ، β و γ ، $Z = 2V_{(a)} = 20^\circ$ ، $n_{\gamma} \pm Z = 13^\circ$ و $\beta = Y$. مگنزیوکاتوفوریت بی رنگ منطقهٔ بس شی فاقد چند رنگی در جهات α ، β و γ ، $Z = 2V_{(a)} = 25^\circ$ ، $n_{\gamma} \pm Z = 17^\circ$.
- ۴- تفاوت اساسی میان ترکیب شیمیایی آمفیبول‌های بی رنگ و رنگی متعلق به یک زون دگرگونی مربوط به افزایش مقدار آهن دو و سه ظرفیتی و کاهش مقدار منیزیم در آمفیبول‌های رنگی است.
- ۵- حضور منگنز به صورت سه ظرفیتی در ساختار پیه مونتیت و برونيت و به صورت دو ظرفیتی در ساختار اسپسارتین گارتنت و نیز حضور آهن تماماً به صورت سه ظرفیتی بیشتر در ساختار هماتیت نشان می‌دهد که پیه مونتیت - کوارتز شیستهای بنا بر تعریف چاپین [۲۷] مجموعه‌هایی اکسیده شده‌اند. در حالیکه وجود منگنز تنها به صورت دو ظرفیتی در گارتنت و وجود آهن به صورت دو و سه ظرفیتی در کانیهای هماه نظیر کلریت و فنیزیت در اپیدوت - کوارتز شیستهای نشان می‌دهد که این سنگها در شرایط احیاء نسبت به پیه مونتیت - کوارتز شیستهای تشکیل شده‌اند.
- ۶- عامل اصلی تشکیل آمفیبول‌های بی رنگ سدیک و سدیک - کلسیک در پیه مونتیت - کوارتز شیستهای مربوط به شرایط فوگاسیته اکسیژن بسیار بالا هنگام دگرگونی بوده است که باعث شده آمفیبول‌های سدیک و سدیک - کلسیک غنی از منیزیم بی رنگ تشکیل شود.

تشکر و قدردانی

لازم است تشکر فراوان خود را نسبت به وزارت علوم ژاپن در جهت تأمین اعتبارات برای انجام این پژوهش اعلام دارم. از بحثهای روشنگر اساتید گرانقدر Dr. T. Pro. S. Banno Hirajima بهره‌های بسیار بردہام که نهایت تشکر را از ایشان دارم. از پیشنهادهای سازنده داوران محترم مجله در ارائه بهتر مقاله سپاسگزاری می‌شود.

مراجع

- [1] Reinecke T., "Crystal chemistry and reaction relation of piemontites and thulites from highly oxidized low grade metamorphic rocks at Vitali", Andros Island, Greece, Contribution to Mineralogy and Petrology 93 (1986) 56-76.
- [2] Kawachi Y., Grapes R. H., Coombs D. S., Dowse M., "Mineralogy and petrology of a piemontite-bearing schist, western Otago", New Zealand, Journal of Metamorphic Geology 1 (1983) 353-372.
- [3] Izadyar J., "Chemical composition of piemontites and reaction relations of piemontite and spessartine in piemontite-quartz schists of central Shikoku", Sanbagawa metamorphic belt, Japan, Swiss Bulletin of Mineralogy and Petrology 80 (2000) 199-211.
- [4] Minakawa T., "Study on characteristic mineral assemblages and formation process of metamorphosed manganese ore deposit in the Sanbagawa belt", Meorial of Faculty of Science, Ehime University 1 (1992) 1-74.
- [5] Coombs D. S., Martin D., Grapes R., Kawachi Y., Roser B., "Geochemistry and origin of piemontite-bearing and associated manganiferous schists from Arrow Junction", western Otago, New Zealand, Chemical Geology 48 (1985) 57-78.
- [6] Griffin W. L., Mottana A., "Crystal chemistry of clinopyroxenese from st. Marcel manganese deposit", Vald, saosta, Italy, American Mineralogist 67 (1982) 568-586.
- [7] Mottana A., "Blueschist-facies metamorphism of manganiferous cherts: A review of the alpine occurrences", Geological Society of America memoir 164 (1986) 267-299.
- [8] Deer W. A., Howie R. A., Zussman J., "An introduction to rock forming minerals", Longman Scientific and Technical, 2nd edition (1992) P. 549.
- [9] Ernst W. G., "Amphibole phase relations", In Smith J. W. (Ed), Short Course Lecture Notes: Chain Silicates, American Geological Institute (1966) 1-41.
- [10] Veblen D. R., Buseck P. R., "Microstructures and reaction mechanisms in biopyriboles", American Mineralogist 65 (1980) 599-623.
- [11] Miyashiro A., "Evolution of metamorphic belts", Journal of Petrology 2 (1961) 277-311.
- [12] Banno S., Sakai C., "Geology and metamorphic evolution of the Sanbagawa metamorphic belt", Japan. In Dally J.S, Cliff R.A., Yardly B.W.D. (Eds.): Evolution of Metamorphic belts. Geological Society Special Publication 43 (1989) 519-532.
- [13] Wallis S. R., Banno S., "The Sanbagawa belt trends in research", Journal of Metamorphic Geology 8 (1990) 393-399.
- [14] Takasu A., Wallis S. R., Banno S., Dallmeyer R. D., "Evolution of the Sanbagawa metamorphic belt", Japan. Lithos 33 (1994) 119-133.

- [15] Higashino T., "Biotite zone of Sanbagawa metamorphic terrain in the Siragayama area," central Shikoku, Japan, Journal of Geological Society of Japan 81(1975) 653-670.
- [16] Enami M., "Petrology of pelitic schists in the oligoclase-biotite zone of the Sanbagawa metamorphic terrain, Japan: phase equilibria in the highest grade zone of a high-pressure intermediate type of metamorphic belt", Journal of Metamorphic Geology 1 (1983) 141-161.
- [17] Mori K., Kanehira K., "X-ray energy spectrometry for electron probe analysis", Journal of Geological Society of Japan 90 (1984) 271-285.
- [18] Hirajima T., Banno S., "Electron-microprobe analysis of rock forming minerals with Kevex delta IV(Quantum detector)", Hitachi Scientific Instrument News 34 (1991)2-7.
- [19] Izadyar J., Hirajima T., Nakamura D., "Talc-phengite-albite assemblage in piemontite- quartz schists of the Sanbagawa metamorphic belt", central Shikoku, Japan, Island Arc 9 (2000) 145-158.
- [20] Radvanec M., Banno S., Okamoto K., "Multiple stages of phengite formation in Sanbagawa schists", Mineralogy and Petrology 51 (1994) 37-48.
- [21] Smith D., Albee A., "Petrology of a piemontite-bearing gneiss, San Gorgonio Pass", California. Contribution to Mineralogy and Petrology 16 (1967) 189-203.
- [22] Izadyar J., Tomita K., Shinjoe H., "Geochemistry and origin of piemontite-quartz schists in the Sanbagawa Metamorphic belt", central Shikoku, Japan, Journal of Asian Earth Sciences 21 (2003) 711-730.
- [23] Leak B., Maresh W.V., Nickel E.H., et al., "Nomenclature of amphiboles", Mineralogical Magazine 61 (1997) 296-311.
- [24] Nakamura C., Enami M., "Prograde amphiboles in hematite-bearing basic and quartz schists in the Sanbagawa belt", central Shikoku: relation between metamorphic field gradient and P-T paths of individual rocks, Journal of Metamorphic Geology 12 (1994) 841- 84.
- [25] Banno S., "Petrologic studies of the Sanbagwa crystalline schists in the Bessi-Ino district", central Shikoku, Japan, Journal of the Faculty of Science, University of Tokyo, Section II 15 (1964) 203-319.
- [26] Otsuki M., Banno S., "Prograde and retrograde metamorphism of hematite-bearing basic schists in the Sanbagawa belt in central Shikoku", Journal of Metamorphic Geology 8 (1990) 425-439.
- [27] Chopin C., "Les paragenèses réduites ou oxydées de concénrations manganésifères des schistes lustrés de Haute-Maurienne (Alpes francaises)", Blletin Minéralogique 101 (1978) 514-531.
- [28] Spear F. S., "An experimental study of hornblende stability and compositional variability in amphibolite", American Journal of Science 281 (1981) 697-734.
- [29] Burdige D. J., Gieskes J. M., "A pore water/solid diagenetic model for manganese in marine sediments", American Journal of Science 283 (1983) 29-47.